

2012S2-006 エネルギー変換材料の表面界面物性: VUV/SX放射光分光による研究

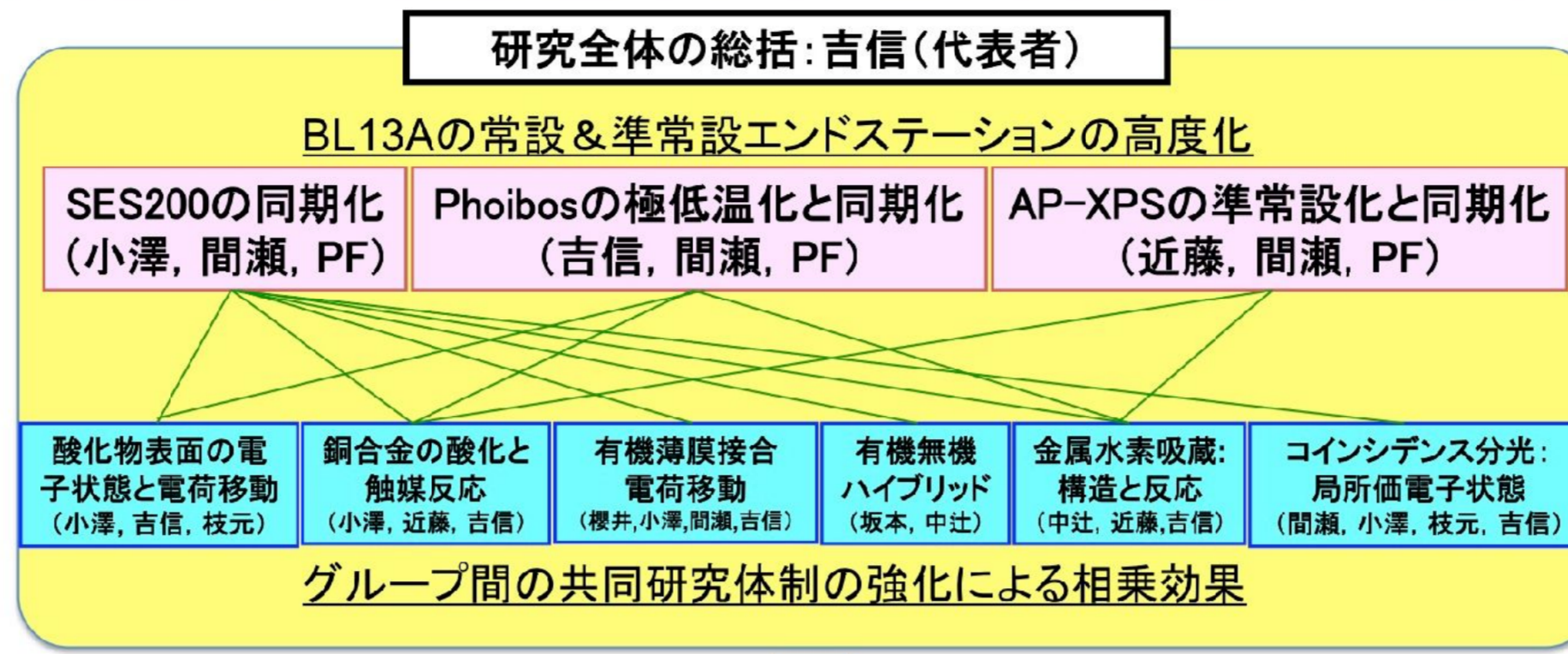
期間: 2012.10~2015.9 代表者: 吉信淳・東京大学物性研究所
実験組織: (東大物性研)小森文夫, ミック・リップマー, 吉本真也, 向井孝三 (慶應大理工)近藤寛, 吉田真明
(千葉大院融合)坂本一之, 水津理恵 (筑波大院)櫻井岳暁, 中村潤児, 近藤剛弘 (東工大院物質)小澤健一 (東工大総理工)中辻寛
(立教大理)枝元一之, 掛札洋平 (上智大理)坂間弘 (弘前大)加藤博雄 (群馬大)Md. Zakir Hossain (KEK-PF)間瀬一彦

本研究の背景

- BL13Aの高度化(2009~)
VUV/SX専用アンジュレータービームライン
エンドステーションの充実(S200, Phoibos, 放射光STM, AP-XPS)
2009S2-007有機分子-電極系の構造・電子状態と電荷移動ダイナミクス
BL13のプランチ化(2013春~): 多様な測定手法, 効率的な利用, シフト制
BL13のアンジュレーター更新(2014?): 可変偏光

ユーザーグループの積極的な参加が必須 (表面化学 & 表面ARPES)
ナノサイエンス, 有機材料 => エネルギー変換材料

2012S2課題における具体的な研究組織体制・役割分担



エネルギー変換材料の表面界面の電子状態を, 光電子分光, 軟X線吸収分光, コンデンシス分光で分析し, エネルギー単位接続, 電子状態と機能, エネルギー変換過程の解明を通じて, 新材料開発への指導原理の確立を目指す

本S2課題のミッション

- 「エネルギー変換材料の表面界面物性」
表面化学...内殻光電子分光->表面界面の化学分析
表面ARPES...価電子帯バンド分散->電子物性の解明
共同研究による新たな課題へのチャレンジ, 実験技術&解析手法の共有化
BL13の2プランチ化への対応 (H25年度9月以降)
BL13Bへのエンドステーションの移動と最適化.
エンドステーションの保守・管理と効率的な運用.
SES200: XPS+ARPES
Phoibos100: HR-XPS
AP-XPS: オペランド測定
BL13のアンジュレーター更新への対応 (2014年夏以降予定)

謝辞: ビームラインのプランチ化, 調整, 光学素子の炭素汚染除去, SES200と分光器の同期等PFスタッフの皆様(雨宮健太, 豊島章雄, 菊地貴司, 田中宏和, 永谷康子, 小宮隆, 井波雅人, 井波和典)には大変お世話になりました. 各グループの実験では参加したPDおよび学生諸君にお礼申し上げます.

SiC表面に成長させたエピタキシャルグラフェンの液相化学修飾

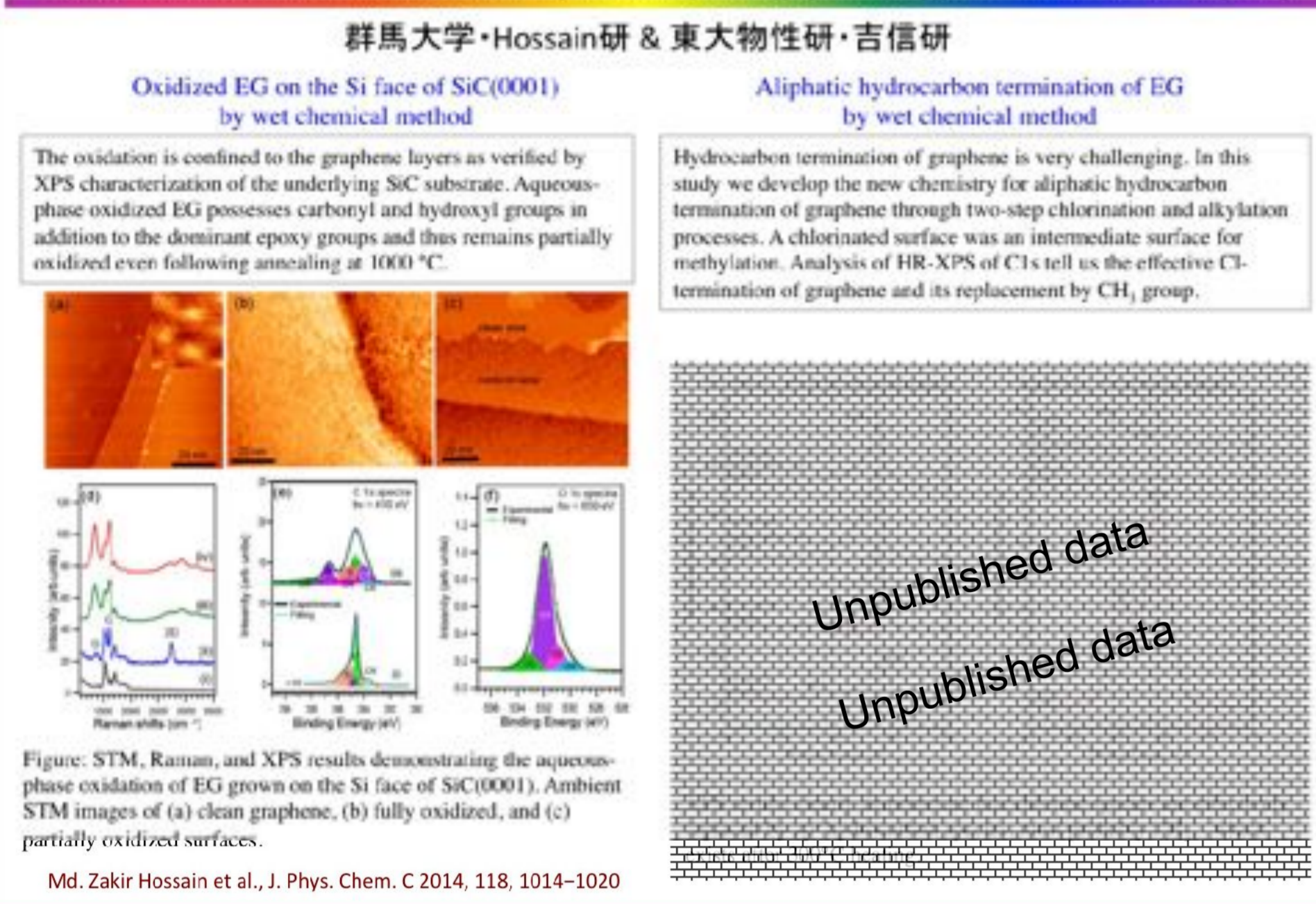
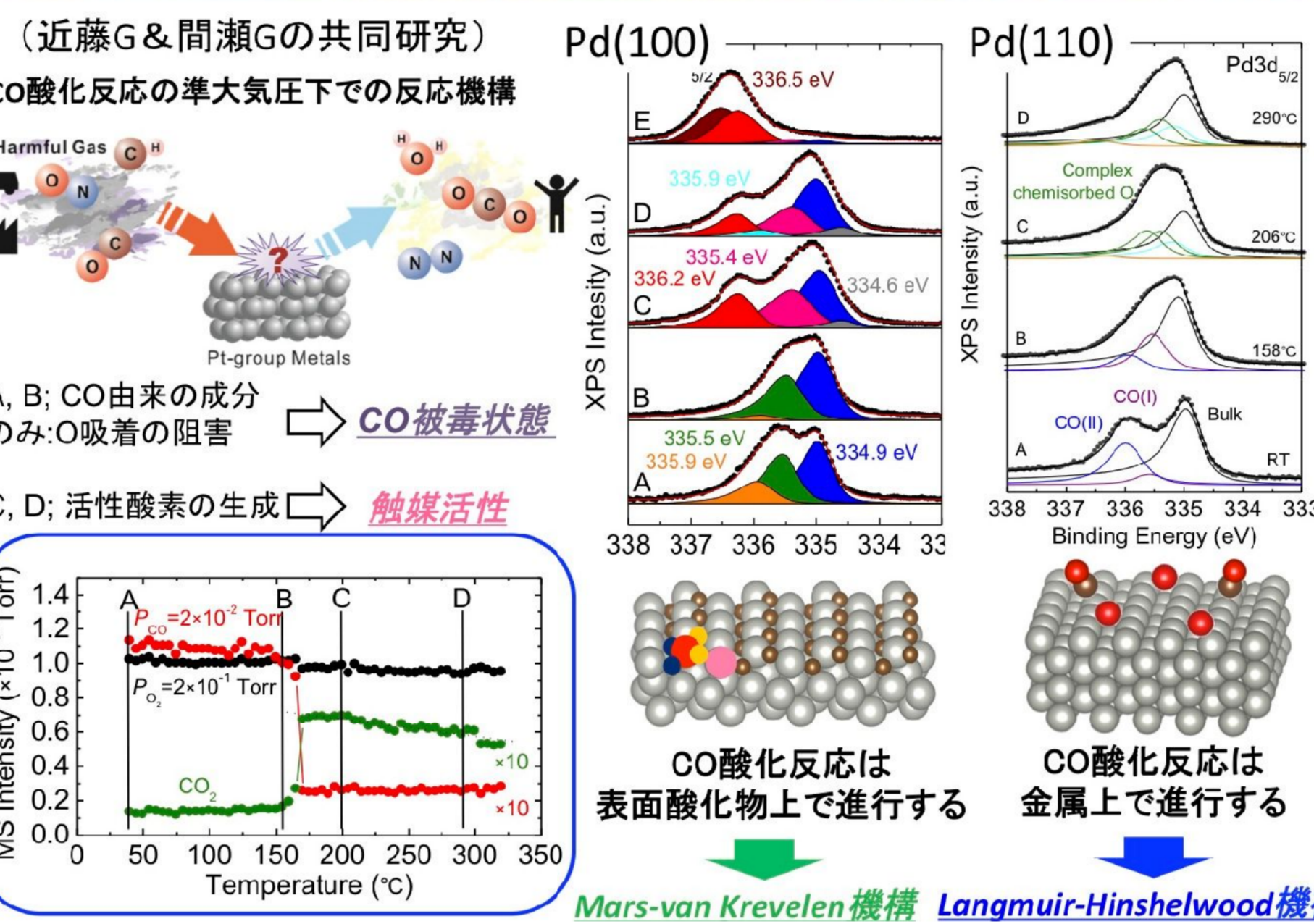
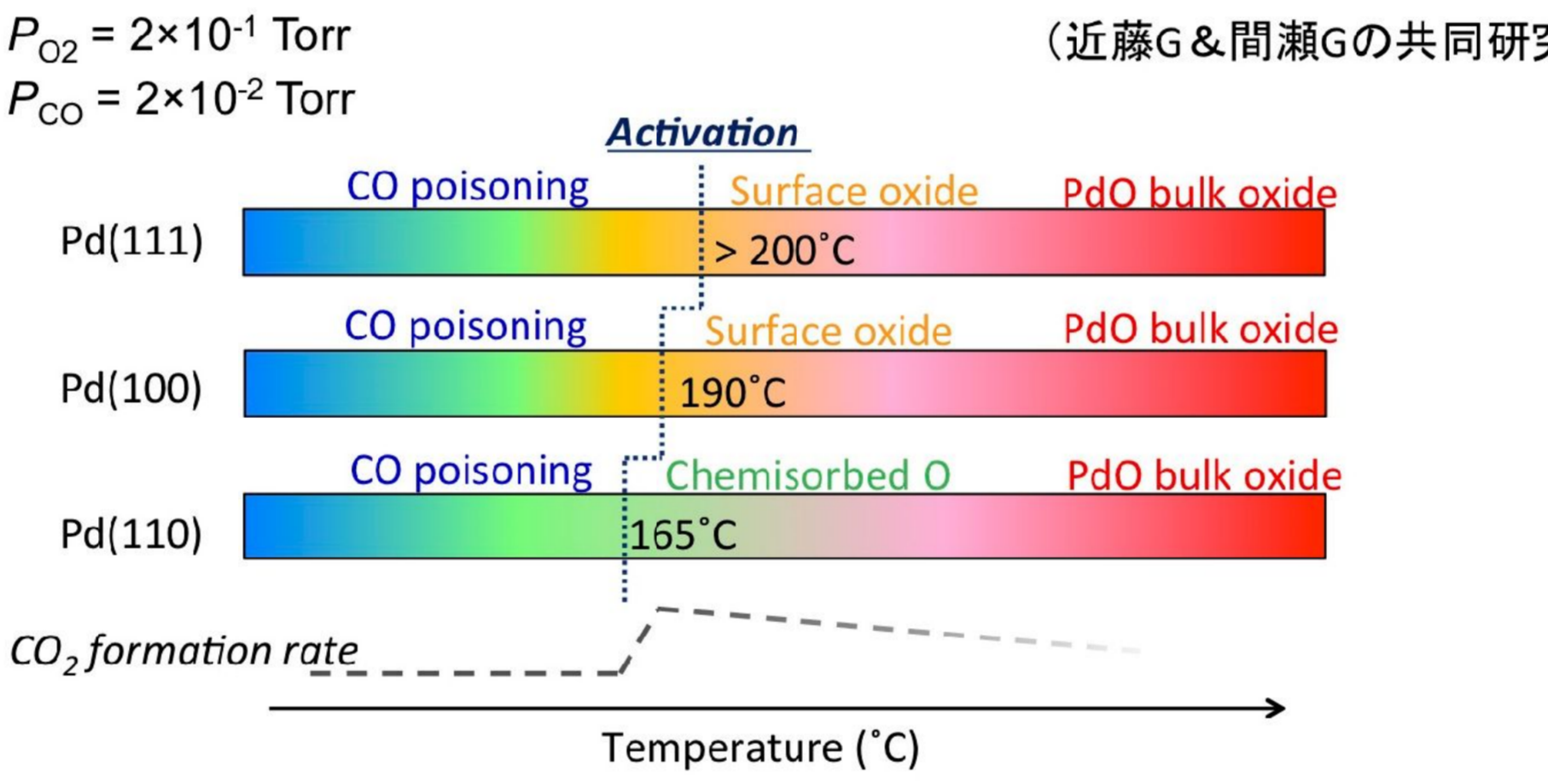


Figure: STM, Raman, and XPS results demonstrating the aqueous-phase oxidation of EG grown on the Si face of SiC(0001). Ambient STM images of (a) clean graphene, (b) fully oxidized, and (c) partially oxidized surfaces.

In-situ observation of CO oxidation reaction on Pt-group metals 1/3

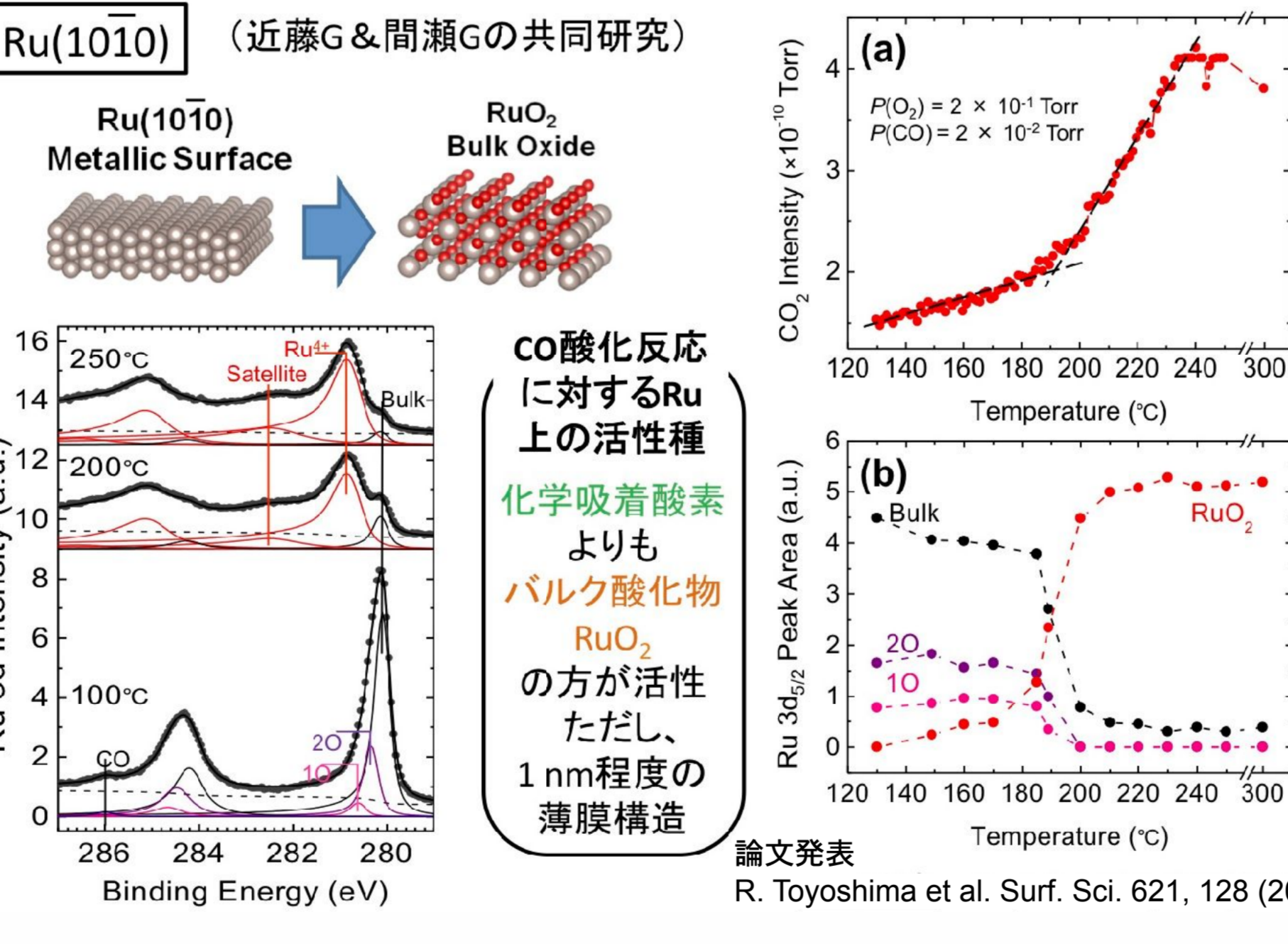


In-situ observation of CO oxidation reaction on Pt-group metals 2/3



論文発表 R. Toyoshima et al. J. Phys. Chem. C 117, 20617 (2013).

In-situ observation of CO oxidation reaction on Pt-group metals 3/3



清浄HOPGに90 KでNH3を曝露した際のN1sの変化

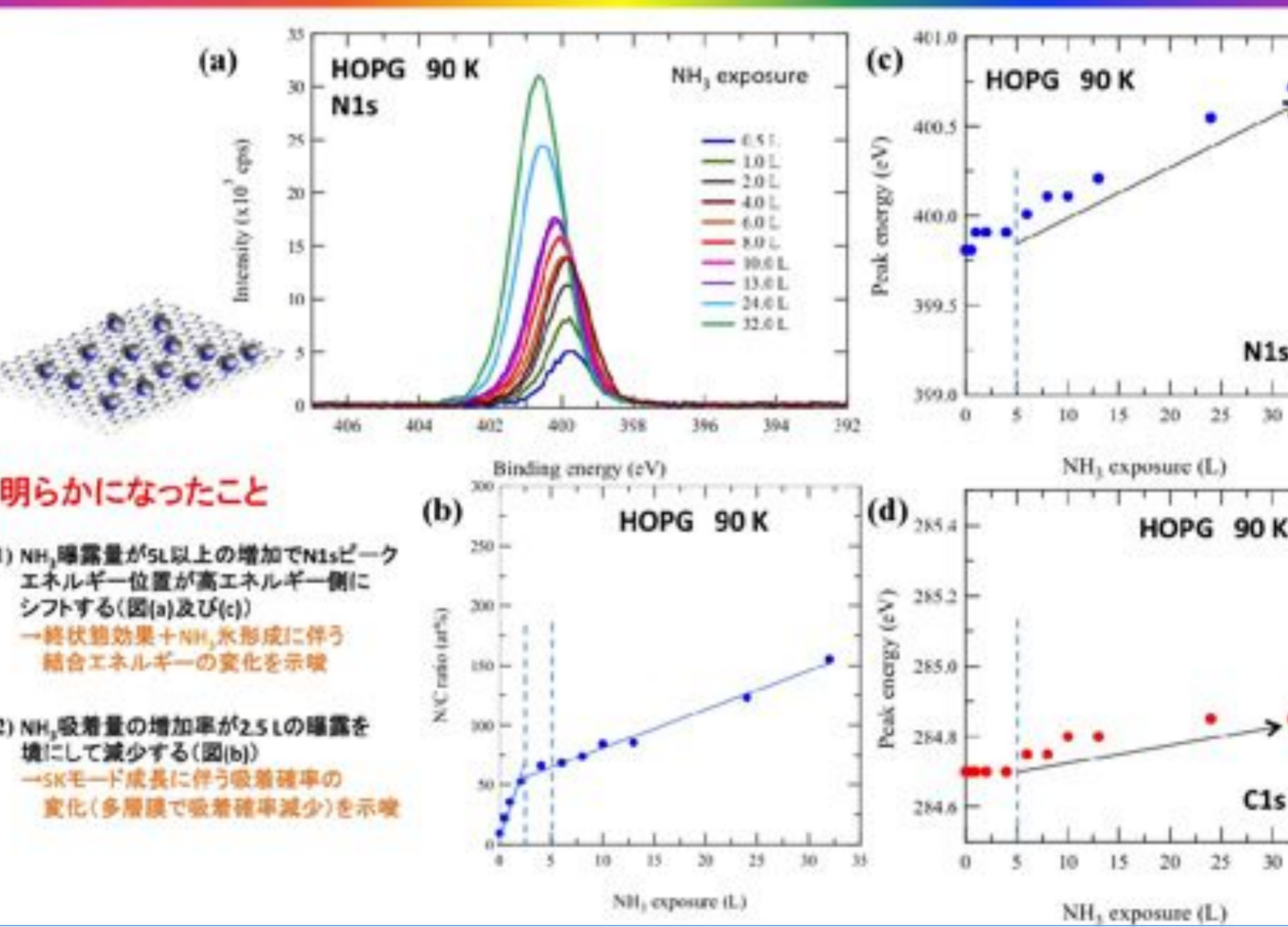
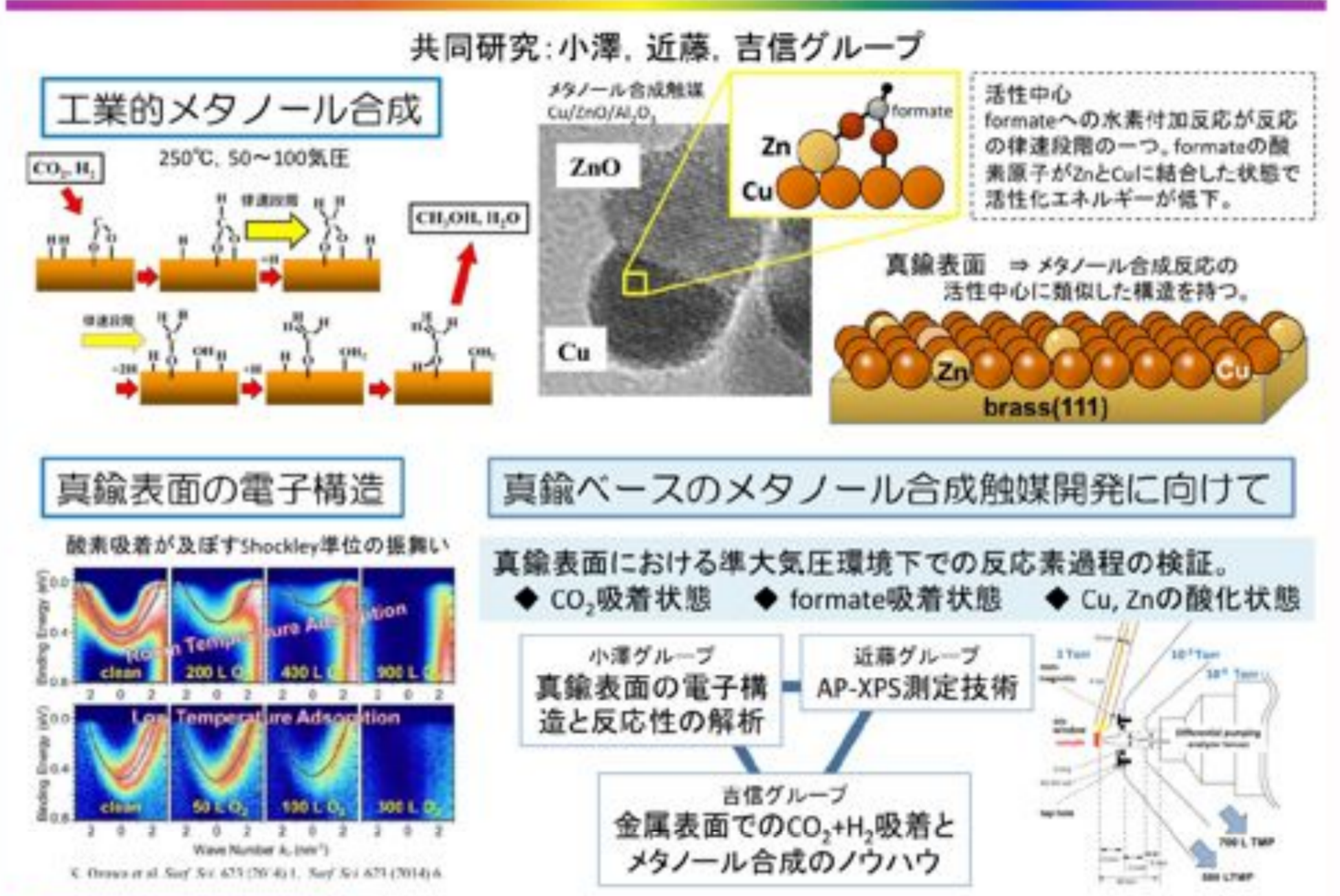
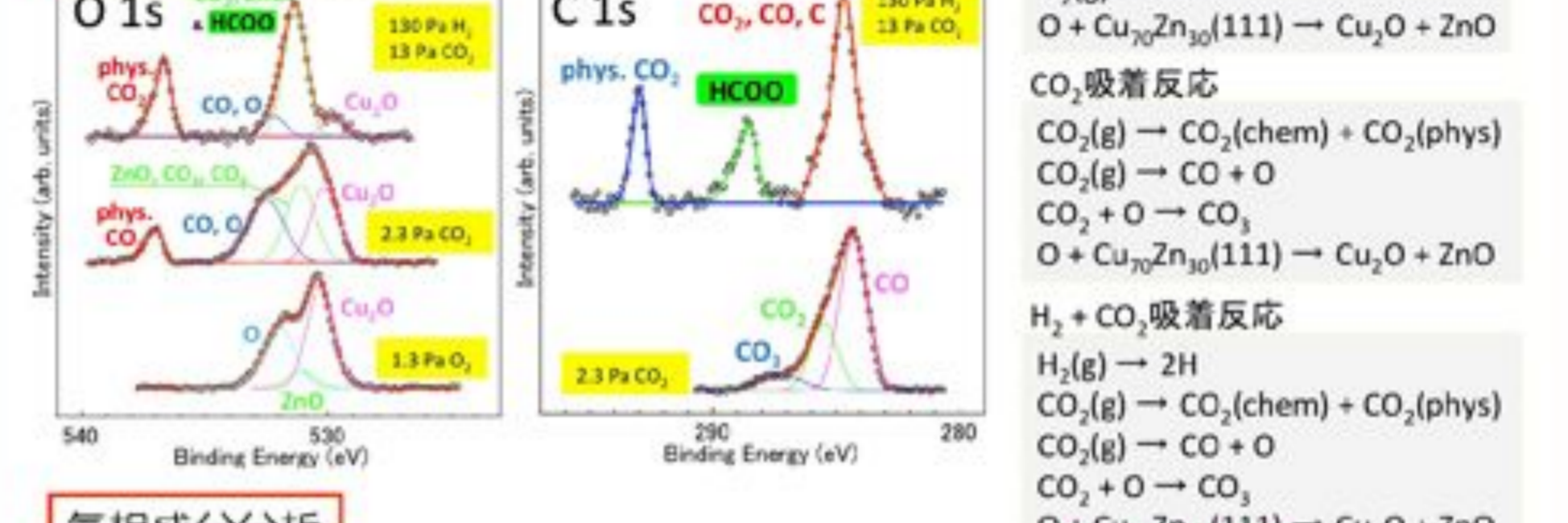


Figure showing XPS N1s spectra for HOPG 90 K after NH3 exposure.

銅合金(真鍮)の酸化と触媒反応



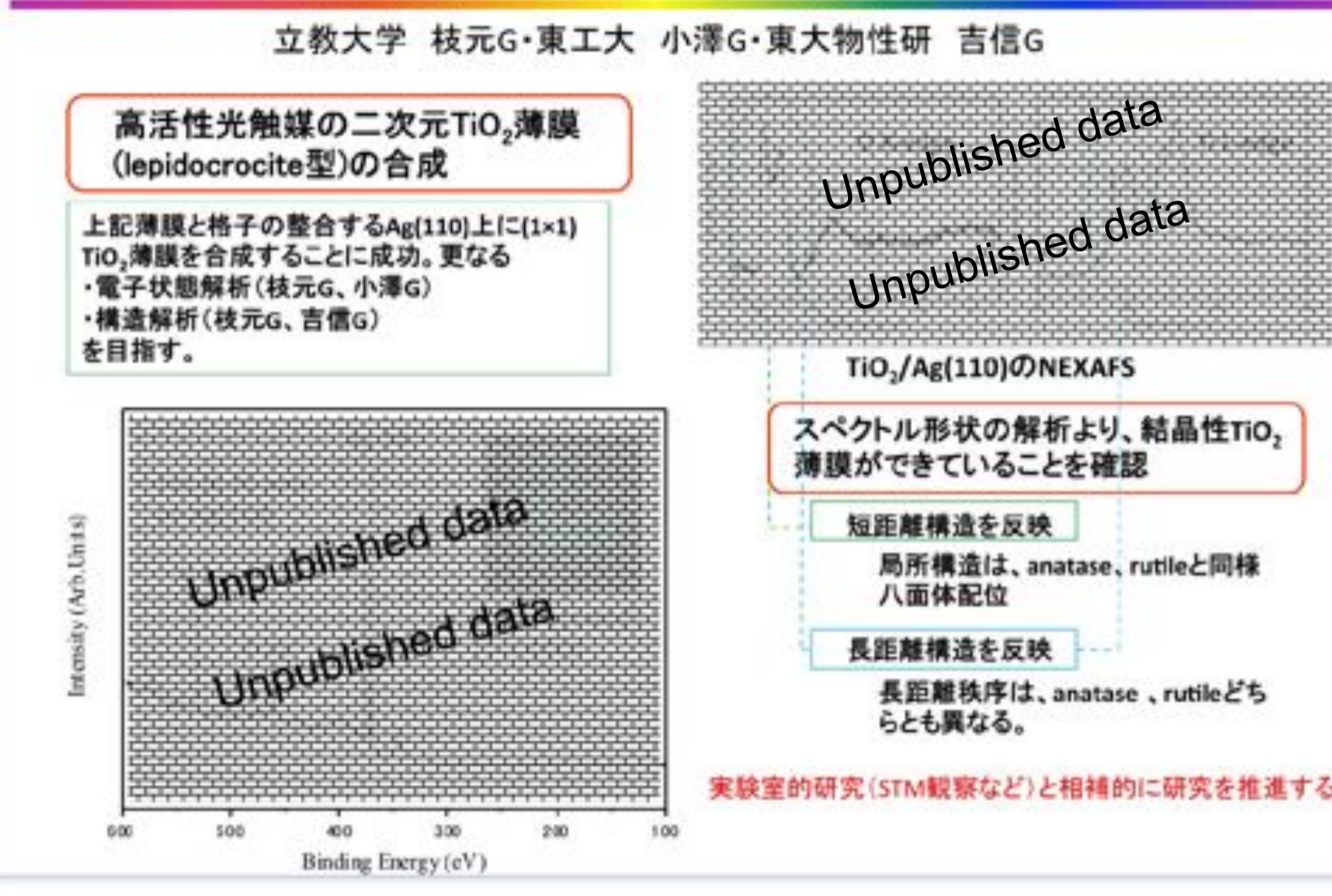
光電子分光測定 Cu2p,Zn2p(111) 室温吸着, hv=630 eV



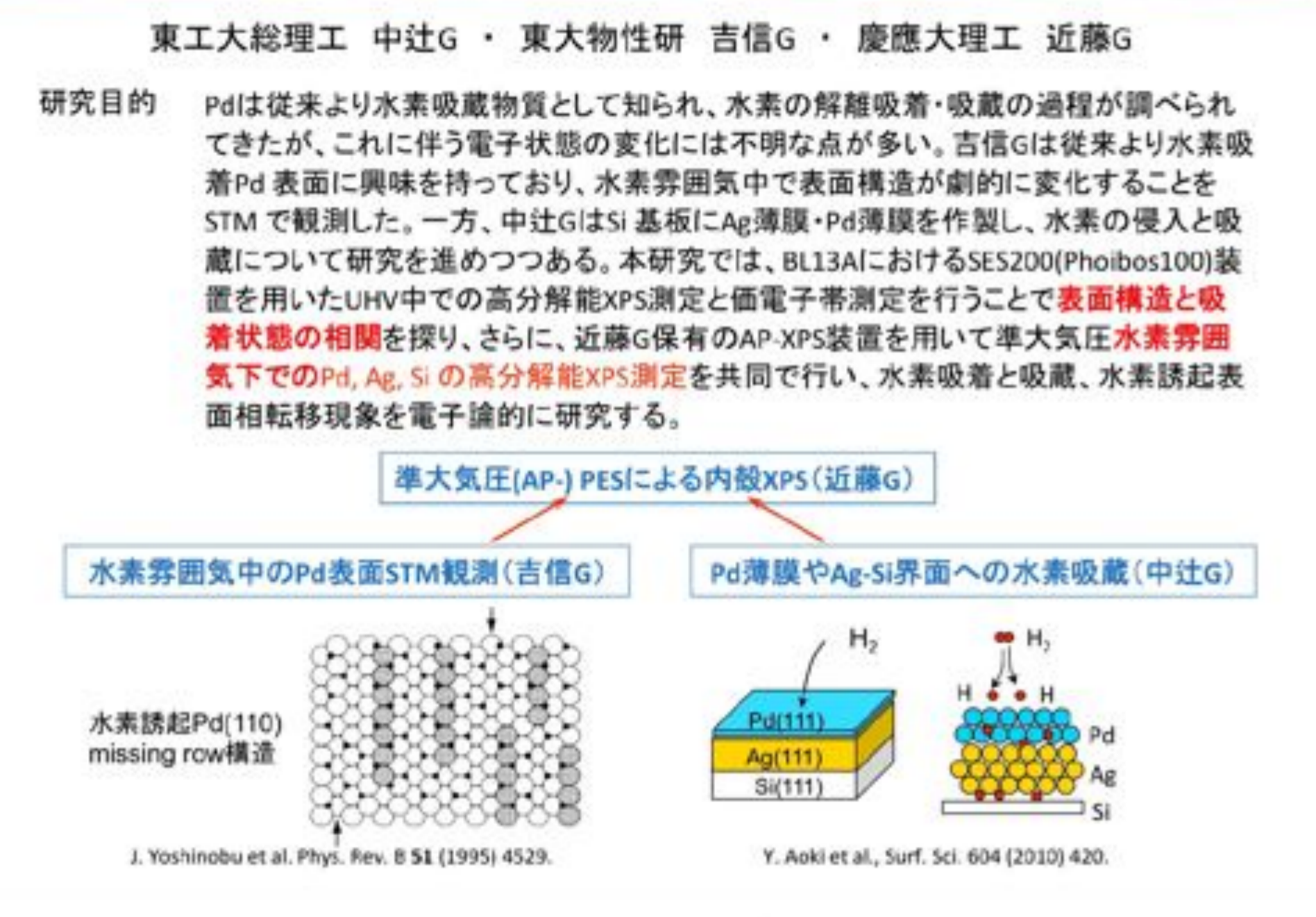
気相成分分析

H2とCO共吸着表面では, formateと甲酸が生成. 甲酸はただちに脱離. COの導入に伴いm/e = 31が増加. 1-メチル基(CH3)の生成が示唆される. 低温(室温), 低圧(10^-4~0.001気圧)の条件下で, 真鍮表面上でメタノールが生成されている可能性がある.

酸化物表面の電子状態と電荷移動



「金属・人工薄膜水素吸蔵と構造・反応性の相関」



H. 25年度の成果

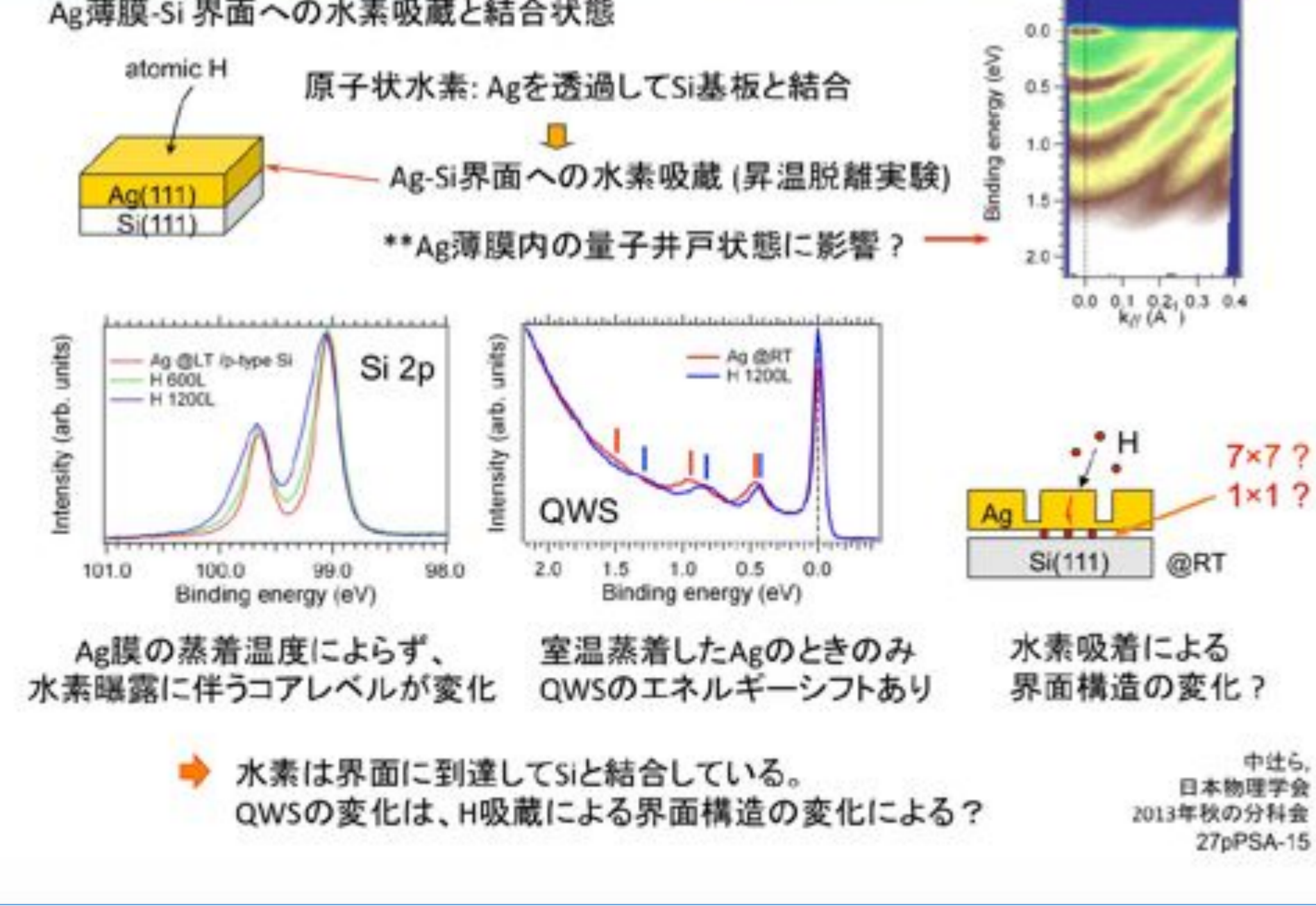
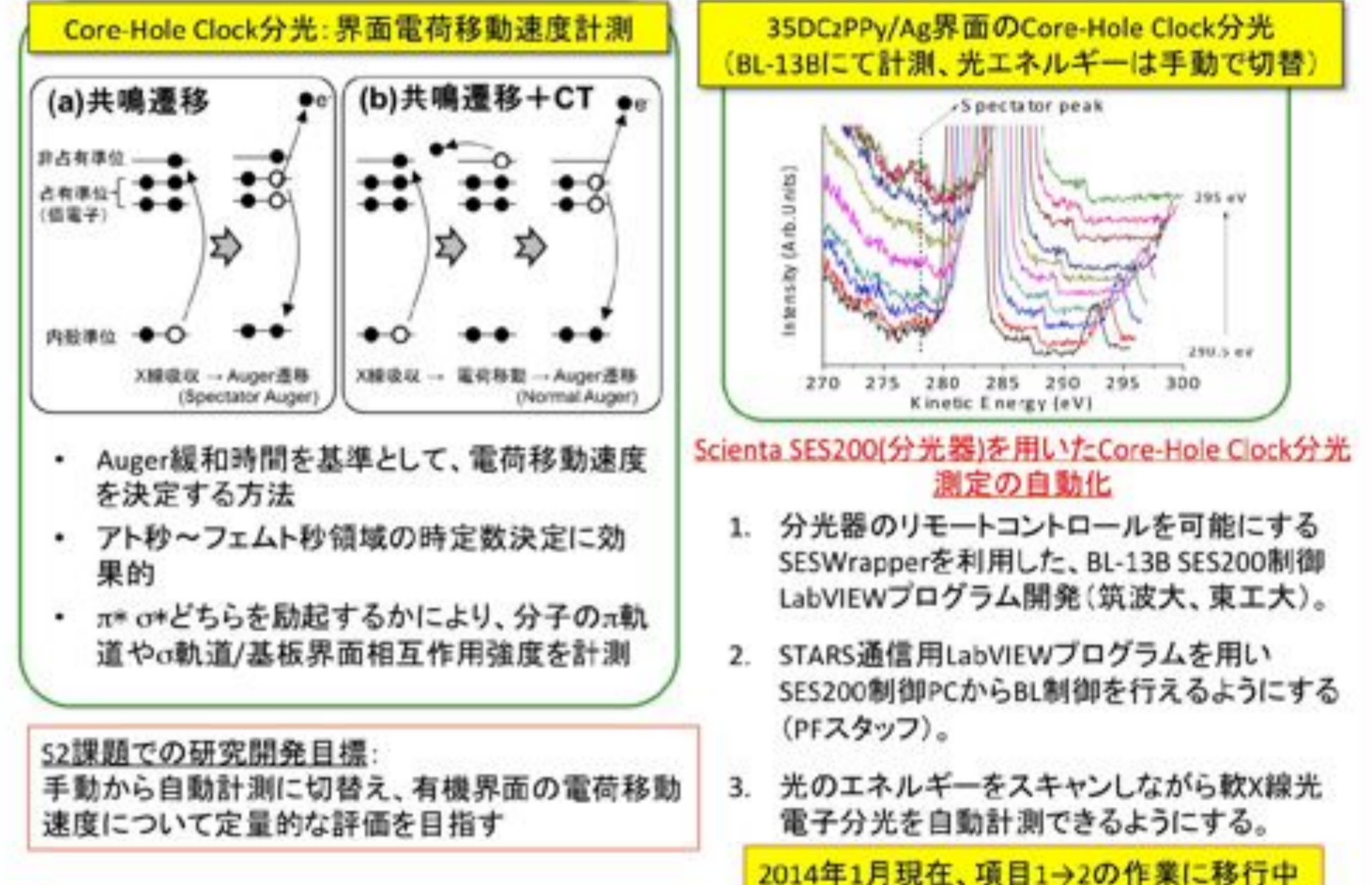


Figure showing XPS results for Ag/Si(111) interface.

有機薄膜接合界面における電荷移動ダイナミクス (PF, 筑波大櫻井, 東工大)



有機太陽電池電極接合界面における緩衝層の役割に関する研究 (筑波大)

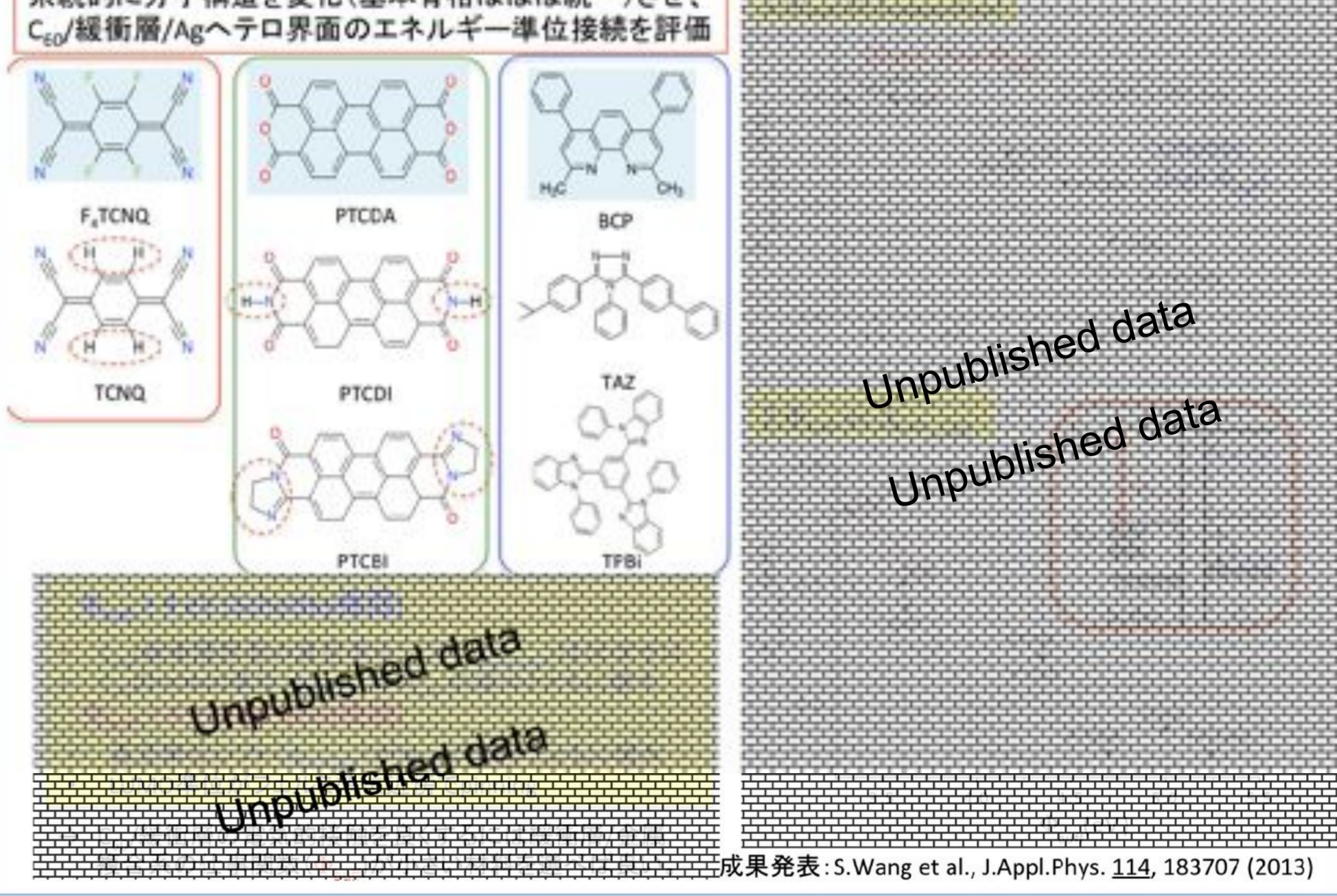


Figure showing organic solar cell structures and energy levels.